

# РАСЧЕТ НЕЛИНЕЙНЫХ ИСКАЖЕНИЙ В ПАССИВНЫХ АТТЕНУАТОРАХ НА ПОЛЕВЫХ ТРАНЗИСТОРАХ

В.И. Туев

Томский государственный университет систем управления и радиоэлектроники

E-mail: tvi@tv2.tomsk.ru

*Предложен метод расчета нелинейных передаточных функций пассивных аттенуаторов на полевых транзисторах. Метод пригоден для расчета регулировочной характеристики и нелинейных искажений аттенуаторов на полевых транзисторах с затвором на основе p-n перехода, МДП-структуры и барьера Шотки. Представлены результаты исследования аттенуаторов с параллельным, последовательным и смешанным соединением регулируемых элементов.*

Пассивные электрически управляемые аттенуаторы, в которых в качестве двухполюсников с изменяемыми параметрами используют полевые транзисторы (ПТ), применяются в системах автоматической регулировки усиления радиоприемных и радиопередающих трактов аппаратуры связи и телевидения, в системах связи, измерительной аппаратуре, в технике звуковоспроизведения в качестве регуляторов громкости и т. д. [1, 2]. Задача расчета нелинейных искажений (НИ) в этих устройствах решена не окончательно. Известные результаты [2, 3] имеют частный характер, обусловленный использованием аппроксимацией выходных вольт-амперных характеристик (ВАХ) транзистора конкретного типа, носят количественное и качественное расхождение с экспериментальными данными.

*Цель работы* – вывод соотношений для расчета НИ в пассивных аттенуаторах на ПТ. Вывод формул произведен в рамках метода нелинейного тока (МНТ), применяемого для расчета нелинейных передаточных функций (НПФ) цепей класса Вольterra [4].

Типовые схемы наиболее часто используемых аттенуаторов на ПТ приведены на рис. 1 [2].

Моделирование свойств ПТ как регулируемых двухполюсников основано на применении аналитического описания нелинейной зависимости тока стока  $I_C$  от напряжений на затворе  $U_1$  и стоке  $U_2$  относительно внутреннего истока, отделенного от внешнего вывода паразитным сопротивлением неуправляемой части канала  $r_n$ :

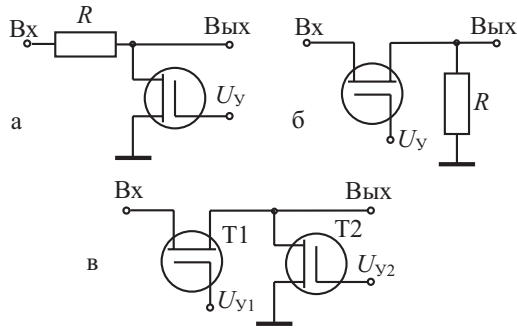
$$I_C = \frac{I_0}{1 - \left( \frac{U_2}{U_{доп}} \right)^n} \left( 1 - e^{-\frac{DU_2}{U_1 - U_0}} + FU_2 \right) \times \left( 1 + Qe^{-\sqrt{RU_2^{2\psi_1 + T}(\psi_1 + V)^{\psi_2}}} \right), \quad (1)$$

где

$$I_0 = A(U_1 - U_0)^B \frac{1}{1 + \left( \frac{U_1 U_2}{P} \right)^K}, \quad (2)$$

$A, B, D, F, K, P, Q, R, T, \psi_1, \psi_2, n$  – коэффициенты аппроксимации,  $U_0$  – пороговое напряжение (напряжение отсечки),  $U_{доп}$  – максимально допустимое стоковое напряжение,  $V$  – контактная разность потенциалов.  $A$  – коэффициент пропорциональности,  $B$  – показатель, характеризующий степень нелинейности зависимости  $I_C$  от  $U_1$  в пологой области выходных ВАХ. Коэффициенты  $P$  и  $K$  отражают влияние на ВАХ насыщения дрейфовой скорости носителей в канале транзистора. Этот эффект заметно проявляется в мощных транзисторах; для маломощных третий сомножитель в (2) принимают равным 1.

Второй сомножитель в (1) характеризует выходную ВАХ, слагаемое  $FU_2$  описывает поведение  $I_C$  в пологой области и отражает эффекты укорочения канала и электростатической обратной связи между стоком и каналом в МДП ПТ. Для ПТ с p-n затвором и затвором Шотки (ПТШ)  $F=0$ .



**Рис. 1.** Типовые схемы пассивных аттенюаторов на ПТ с параллельным (а), последовательным (б) и смешанным (в) соединением регулируемых элементов

Коэффициенты  $Q$ ,  $R$ ,  $T$ ,  $\psi_1$ ,  $\psi_2$  описывают влияние на ВАХ насыщения дрейфовой скорости носителей, наблюдаемое в ПТШ средней и большой мощности. Для маломощных ПТШ и кремниевых транзисторов третьим сомножителем в (1), содержащим эти коэффициенты, можно пренебречь.

Коэффициент  $n$  отражает возрастание  $I_c$  вследствие лавинного умножения носителей при пробое стоковой области.

Численные значения коэффициентов аппроксимации и величина  $r_n$  для кремниевых МДП-ПТ и ПТШ приведены в [5, 6], для некоторых типов ПТ с затвором в виде  $p$ - $n$  перехода – в табл. 1.

Выражения (1, 2) с погрешностью не более 20 % описывают семейство ВАХ при напряжениях на затворе транзистора от  $U_0$  до 0 (ПТ с  $p$ - $n$  затвором и ПТШ), от  $U_0$  до значения, соответствующего максимальному току стока (МДП-ПТ), и в диапазоне от  $V$  до  $U_{доп}$  напряжений на стоке для всех типов ПТ.

**Таблица 1.** Коэффициенты аппроксимации и значение  $r_n$  для ПТ с  $p$ - $n$  затвором в рабочей области ВАХ

Тип ПТ	$A$	$B$	$D$	$r_n$ , Ом	$U_0$ , В
КП103	0,76	1,95	1,10	20	1,25
КП303	1,53	1,57	0,90	12	-2,50
КП312	1,90	1,40	2,53	20	-4,75

Расчет переменных составляющих тока стока ПТ в соответствии с МНТ производится в виде

$$i = \sum_{n=1}^N i_n, \quad (3)$$

где  $N$  – наивысший порядок учитываемой нелинейности,  $i_n$  – нелинейный ток  $n$ -го порядка.

На основании обобщенных формул для расчета нелинейных эквивалентных источников тока многоэлектродных активных элементов [7] составляющие тока первых трех порядков ( $N=3$ ), представляющие наибольший практический интерес [2–4], можно представить в виде

$$i_1 = \sum_{k=1}^2 g_k^{(1)} u_k^{(1)}, \quad (4)$$

$$i_2 = \sum_{k=1}^3 i_{2k}, \quad (5)$$

$$i_{21} = g_1^{(2)} [u_1^{(1)}]^2, i_{22} = g_2^{(2)} [u_2^{(1)}]^2, i_{23} = g_{1,2}^{(1+1)} u_1^{(1)} u_2^{(1)}, \quad (6)$$

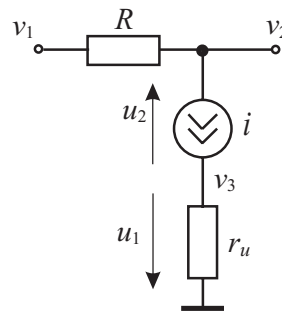
$$i_3 = \sum_{k=1}^8 i_{3k}, \quad (7)$$

$$i_{31} = g_1^{(3)} [u_1^{(1)}]^3, i_{32} = g_2^{(3)} [u_2^{(1)}]^3, i_{33} = g_{1,2}^{(2+1)} [u_1^{(1)}]^2 u_2^{(1)}, \\ i_{34} = g_{1,2}^{(1+2)} [u_2^{(1)}]^2 u_1^{(1)}, i_{35} = 2g_1^{(2)} u_1^{(1)} u_1^{(2)}, i_{36} = g_2^{(2)} u_2^{(1)} u_2^{(2)}, \\ i_{37} = 2g_{1,2}^{(1+1)} u_1^{(1)} u_2^{(2)}, i_{38} = 2g_{1,2}^{(1+1)} u_1^{(2)} u_2^{(1)}, \quad (8)$$

где  $g^{(i)}$  – частные и смешанные проводимости, определяемые из разложения (1) в кратный ряд Тейлора в окрестности рабочей точки, определяемой напряжениями смещения  $U_{10}$ ,  $U_{20}$ :

$$g_{1,2}^{(m_1+m_2)} = \frac{1}{m_1! m_2!} \frac{\partial^{m_1+m_2} I_C(U_{10}, U_{20})}{\partial U_1^{m_1} \partial U_2^{m_2}}. \quad (9)$$

Эквивалентная схема аттенюатора с параллельным включением ПТ для переменного тока представлена на рис. 2.



**Рис. 2.** Эквивалентная схема аттенюатора с параллельным включением ПТ:  $u_1$  – напряжение на затворе,  $u_2$  – на стоке ПТ относительно внутреннего истока

Для узловых потенциалов в схеме, рис. 2, справедливы соотношения:

$$\begin{cases} v_2^{(n)} = v_1^{(n)} - R i_n \\ v_3^{(n)} = r_u i_n \end{cases} \quad (10)$$

Здесь и далее  $n=1, \dots, N$ .

В соответствии с МНТ расчет НПФ первого порядка, т. е. регулировочной характеристики аттенюатора, проводится при  $i=i_1$  в (3). Численные расчеты показывают, что при малых напряжениях смещения на стоке  $U_{20}$  (в крутой области выходных ВАХ ПТ) выполняется неравенство  $g_1^{(1)} \ll g_2^{(1)}$  и, соответственно, выражение (4) может быть упрощено:

$$i_1 \approx g_2^{(1)} u_2^{(1)}. \quad (11)$$

Решая систему уравнений (10) с учетом (11), получим нормированные к уровню входного сигнала узловые потенциалы и напряжения на управляющих электродах ПТ

$$v_3^{(1)} = \frac{g_2^{(1)} r_u}{1 + g_2^{(1)} (r_u + R)}, \quad (12)$$

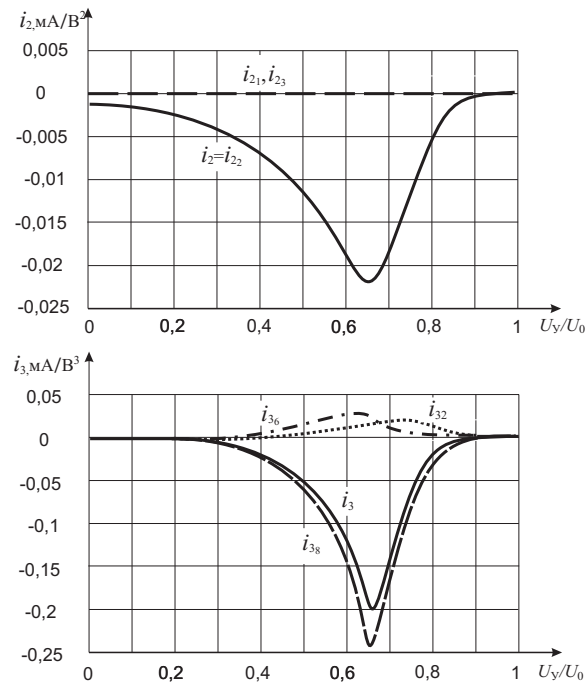
$$v_2^{(1)} = \frac{1 + g_2^{(1)} r_u}{1 + g_2^{(1)} (r_u + R)}, \quad (13)$$

$$u_1^{(1)} = -v_3^{(1)} = \frac{-g_2^{(1)} r_u}{1 + g_2^{(1)} (r_u + R)}, \quad (14)$$

$$u_2^{(1)} = v_2^{(1)} - v_3^{(1)} = \frac{1}{1 + g_2^{(1)} (r_u + R)}. \quad (15)$$

Соответственно выражение для расчета НПФ первого порядка  $H_1$  имеет вид

$$H_1 = v_2^{(1)} = \frac{1 + g_2^{(1)} r_u}{1 + g_2^{(1)} (r_u + R)}. \quad (16)$$



**Рис. 3.** Составляющие нелинейных токов второго  $i_2$  и третьего  $i_3$  порядков в схеме аттенюатора с параллельным включением ПТ типа КП305

Расчет НПФ более высоких порядков  $H_n$  производится по аналогичным (10–15) соотношениям, полученным при  $i=i_n$  и  $v_1=0$ :

$$v_3^{(n)} = i_n \frac{1 - \left( \frac{R}{(1 + g_2^{(1)} r_u)(1 + g_2^{(1)} R)} \right) \left( \frac{1}{R} + g_2^{(1)} \right)}{g_2^{(1)}}, \quad (17)$$

$$v_2^{(n)} = H_n = \frac{-i_n R}{(1 + g_2^{(1)} r_u)(1 + g_2^{(1)} R)}. \quad (18)$$

Определяя частные и смешанные производные в соответствии с (9) при варьировании управляющего напряжения  $U_v = U_{10}$  в диапазоне от  $U_0$  до 0 и фиксированном значении  $U_{20} = 0,6$  В [8] и подставляя их в (5–8), рассчитаем токи  $i_2$  и  $i_3$ . Численные значения составляющих токов для ПТ КП305 [5] приведены на рис. 3. Основной вклад в нелинейный ток второго порядка вносит нелинейность выходной проводимости ПТ  $g_2^{(2)}$ . Нелинейный ток третьего порядка определяется следующими составляющими, приведенными в порядке их значимости: составляющей  $i_{36}$ , образованной в результате нелинейно-параметрического взаимодействия линейного напряжения на стоке и напряжения второго порядка на затворе на смешанной проводимости второго порядка  $g_{1,2}^{(1+1)}$ ; составляющей  $i_{38}$ , полученной взаимодействием напряжений первого и второго порядков на квадратичной нелинейности стока  $g_2^{(2)}$ ; составляющей  $i_{32}$ , являющейся результатом влияния кубичной нелинейности выходной проводимости  $g_2^{(3)}$ .

Выражения для расчета НПФ аттенюаторов как с параллельным, так и с последовательным и смешанным соединениями ПТ (рис. 1), найденные в результате аналогичных (10–18) вычислений, сведены в табл. 2.

Регулировочная характеристика и коэффициент гармоник  $K_g$  в диапазоне регулирования аттенюаторов с параллельным, последовательным и смешанным соединением регулируемых элементов приведены на рис. 4. Расчетное значение коэффициента гармоник определено по формулам

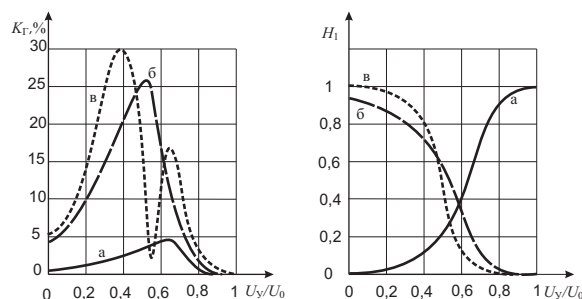
$$K_g = \sqrt{K_{g2}^2 + K_{g3}^2}, \quad K_{g2} = \frac{H_2 U_{gx}}{2H_1}, \quad K_{g3} = \frac{H_3 (U_{gx})^2}{4H_1} \quad [2]$$

при среднеквадратическом значении входного сигнала  $U_{gx} = 100$  мВ. Расчет параметров аттенюатора со

**Таблица 2.** Выражения для расчета НПФ аттенюаторов на ПТ с параллельным, последовательным и смешанным соединением регулируемых элементов

Функция	Рис. 1, а	Рис. 1, б	Рис. 1, в
$H_1$	$\frac{1 + g_2^{(1)} r_u}{1 + g_2^{(1)} (r_u + R)}$	$\frac{g_2^{(1)} R}{1 + g_2^{(1)} (r_u + R)}$	$\frac{1 + [g_2^{(1)}]_{T2} r_u}{1 + \frac{[g_2^{(1)}]_{T2}}{[g_2^{(1)}]_{T1}} + 2[g_2^{(1)}]_{T2} r_u}$
$H_n$	$\frac{-i_n R}{(1 + g_2^{(1)} r_u)(1 + g_2^{(1)} R)}$	$\frac{i_n R}{1 + g_2^{(1)} (r_u + R)}$	$\frac{[i_n]_{T1} - [i_n]_{T2} \frac{1 + [g_2^{(1)}]_{T1} r_u}{1 + [g_2^{(1)}]_{T2} r_u}}{[g_2^{(1)}]_{T1} \frac{1 + 2[g_2^{(1)}]_{T2} r_u}{1 + [g_2^{(1)}]_{T2} r_u} + \frac{[g_2^{(1)}]_{T2}}{1 + [g_2^{(1)}]_{T2} r_u}}$

смешанным соединением ПТ производился при следующем соотношении управляющих напряжений на затворах ПТ:  $U_{y1}=U_y$ ;  $U_{y2}=U_0-U_{y1}$ .

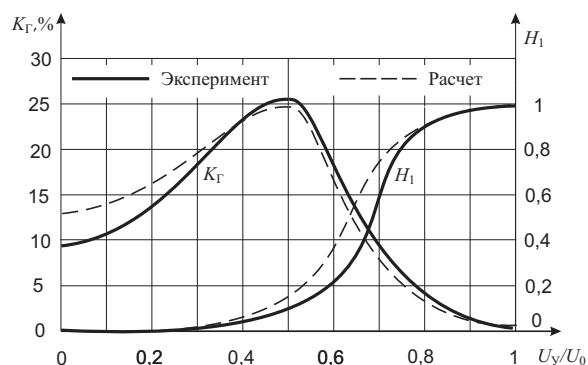


**Рис. 4.** Регулировочные характеристики и коэффициенты гармоник  $K_G$  аттенюаторов с параллельным при значении  $R=24$  кОм (а), последовательным ( $R=10$  кОм) (б) и смешанным (в) соединением регулируемых элементов

В подтверждение достоверности полученных теоретических результатов на рис. 5 приведены экспериментальные и расчетные характеристики аттенюатора с параллельным включением ПТ.

В диапазоне управляющих напряжений от 0,3 до 1 варьирование коэффициента передачи аттенюатора осуществляется в пределах от 0,01 до 1, т. е. на 40 дБ. Расхождение расчетных и экспериментальных данных в этих пределах не превышает 20 %. В области малых отношений увеличение погрешности расчета обусловлено неточностью используемой аппроксимации ВАХ ПТ (1).

Таким образом, в статье представлен метод расчета регулировочной характеристики и нелинейных искажений аттенюаторов на полевых транзи-



**Рис. 5.** Регулировочные характеристики и коэффициент гармоник аттенюатора с параллельным соединением ПТ типа КП305 в условиях постоянного выходного напряжения  $U_{\text{вых}}=100$  мВ на частоте 1000 Гц

сторах с различной структурой затвора. Приведены коэффициенты экспоненциально-степенной аппроксимации для ряда полевых транзисторов с затвором на основе  $p-n$  перехода, представлены расчетные соотношения для составляющих эквивалентного источника тока и для нелинейных передаточных функций. Рассмотрен механизм образования нелинейных токов и выявлены преобладающие источники нелинейности. Даны результаты исследования аттенюаторов с параллельным, последовательным и смешанным соединением регулируемых элементов. Показано, что расхождение расчетных и экспериментальных данных коэффициента гармоник в диапазоне регулирования коэффициента передачи 40 дБ в схеме параллельного аттенюатора на МДП полевом транзисторе не превышает 20 %.

#### СПИСОК ЛИТЕРАТУРЫ

- Кривицкий Б.Х., Салтыков Е.Н. Системы автоматической регулировки усиления. — М.: Радио и связь, 1982. — 190 с.
- Богданович Б.М., Ваксер Э.Б., Окулич Н.И. Проектирование элементов радиоприемных устройств (управляемых электронных аттенюаторов). — Минск: Высшая школа, 1979. — 192 с.
- Игнатов А.Н., Рянский А.И. Анализ нелинейных свойств полевых транзисторов в области, близкой к отсечке // Радиотехника. — 1980. — № 9. — С. 36–38.
- Буссганг Дж., Эрман Л., Грейам Дж. Анализ нелинейных систем при воздействии нескольких входных сигналов // ТИИ-ЭР. — 1974. — № 8. — С. 56–92.
- Жаркой А.Г., Туев В.И. Аппроксимация вольт-амперных характеристик МДП-полевых транзисторов // Известия вузов. Сер. Радиоэлектроника. — 1988. — № 5. — С. 69–70.
- Жаркой А.Г., Туев В.И. Аппроксимация вольт-амперных характеристик GaAs ПТШ со стабильными областями отрицательного сопротивления // Техника средств связи. Сер. Радиоизмерительная техника. — 1988. — Вып. 8. — С. 36–41.
- Жаркой А.Г., Туев В.И. Расчет нелинейных эквивалентных источников тока многоэлектродных активных элементов // Радиотехника и электроника. — 1989. — Т. 34. — № 6. — С. 1142–1150.
- Зи С. Физика полупроводниковых приборов. Ч. 1. — М.: Мир, 1984. — 453 с.

Поступила 23.06.2006 г.